

ریز طبقه بندی اراضی باگی و زراعی با استفاده از تکنیکهای پردازش شیء پایه و الگوریتم های فازی با هدف تخمین سطح زیر کشت

درباره مقاله: ۹۶/۲/۳۰ پذیرش نهایی: ۹۶/۱۲/۲۶

صفحات: ۲۰۱-۲۱۶

بختیار فیضی زاده: استادیار سنجش از دور دانشگاه تبریز، تبریز، ایران.^۱

Feizizadeh@tabrizu.ac.ir

علی خدمت زاده: کارشناس ارشد سنجش از دور دانشگاه تبریز تبریز، ایران.

clima.khedmatzadeh@yahoo.com

محمد رضا نیکجو: دانشیار ژئومورفوگلوبی دانشگاه تبریز تبریز، ایران.

Nikjoo1347@gmail.com

چکیده

تکنولوژی سنجش از دور یکی از فناوری‌های کارآمد و نوین در استخراج کاربری‌های اراضی، به روز رسانی نقشه‌ها و کشف تغییرات کاربرها می‌باشد. سنجش از دور با ارائه تصاویر ماهواره‌ای با قدرت زمانی و مکانی متفاوت امکان مدیریت بهنگام کاربری‌ها را فراهم آورده که باعث صرفه‌جویی در وقت و هزینه شده و این امر قدرت تصمیم‌گیری، بهره برداری بهینه و برنامه ریزی دقیق تر برای منابع طبیعی را افزایش می‌دهد. استفاده از تکنیک‌های پردازش شیء گرا (دانش پایه) تصاویر ماهواره‌ای از روش‌های جدید در پردازش تصاویر می‌باشد، که علاوه بر استفاده از قدرت تفکیک طیفی تصاویر از ویژگی‌های فیزیکی و هندسی (بافت، شکل) تصاویر نیز استفاده می‌کند. تحقیق حاضر با هدف استخراج نقشه کاربری‌های باگی و زراعی در دشت میاندوآب با استفاده از الگوریتم-ها و شاخص‌های مناسب در پردازش شیء گرای تصاویر ماهواره‌ای در محیط نرم افزار eCognition انجام شده است. در این تحقیق نقشه پرائکنش محصولات کشاورزی در ۹ طبقه تهیه شد و سپس برای پردازش شیء پایه تصاویر ماهواره‌ای، تصویر با مقیاس ۱۰، ضربیب شکل ۰,۷ و فشردگی ۳,۰ سگمنت سازی شد و بر اساس الگوریتم فازی اشتراک (AND)، کاربری‌های مورد نظر با استفاده از شاخصهای بافت (Texture)، هندسی (Geometry)، پوشش گیاهی (NDVI)، ترکیب سطوح خاکستری پیکسل (GLCM)، درجات روشنایی، طبقه بندی شده‌اند که از الگوریتم طبقه بندی Assign Class استفاده شده است، که در نهایت دقت کلی ۹۳,۶٪ و ضربیب کاپا ۹۲,۵٪ برای کاربری‌های استخراج شده به دست آمد. مساحت سطح زیر کشت برای کاربری‌های گندم و جو، آلو و

۱. نویسنده مسئول: تبریز، دانشکده جغرافیا و برنامه ریزی، گروه سنجش از دور و GIS

نmodند. (واردلاو^{۱۵} و همکاران، ۲۰۰۷) به بررسی روند زمانی داده های شاخص های گیاهی برای طبقه بندی مزارع کشاورزی شامل: یونجه، ذرت، ذرت خوشه ای، سویا، زمین های آیش و گندم با استفاده از ۱۲ تصویر MODIS با قدرت تفکیک ۲۵۰ متر پرداخته و با توجه به روندهای زمانی متفاوت شاخص های NDVI و EVI طبقه های مختلف را از هم تفکیک کردند. (یوسفی و همکاران، ۲۰۱۱) تحقیقی را با هدف تعیین بهترین روش طبقه بندی تصاویر سنجنده ETM+ از بین ۹ روش طبقه بندی نظارت شده جهت استخراج نقشه کاربری اراضی شهر نور انجام دادند. طبقه بندی آن ها شامل (مناطق مسکونی، کشاورزی و جنگل) بود. نتایج آن ها نشان داد که طبقه بندی شبکه عصبی با میانگین دقت کلی و کاپا به ترتیب ۸۶/۸۱ درصد و ۷۴/۱۷ درصد و روش حداکثر احتمال با میانگین دقت کلی و کاپا به ترتیب ۸۱/۸۴ درصد و ۶۷/۵۱ درصد به ترتیب در اولویت دوم و چهارم از بین ۹ اولویت قرار داشتند. (آرخی و ادبی نژاد، ۲۰۱۱) در پژوهش خود از الگوریتم های SVM برای طبقه بندی کاربری اراضی حوضه سد ایلام با استفاده از داده های ETM+ لنdest استفاده کردند. در این پژوهش طبقه بندی با استفاده از روش ماشین های بردار پشتیبان اجرا شده و کارکرد این روش با روش طبقه بندی حداکثر احتمال مقایسه شد. طبقه های کاربری اراضی (اراضی کشاورزی، مراتع، جنگل، اراضی بایر، باغ و دریاچه) بودند. نتایج نشان می دهد که الگوریتم های SVM خصوصا سه کرنل خطی، چند جمله ای و شعاعی نسبت به روش طبقه بندی حداکثر احتمال از نظر دقت کل حدود ۱۰ درصد و ضریب کاپا حدود ۱۵ درصد برتری دارد. (وینجوین و همکاران، ۲۰۱۶) یک روش جدید که ادغام روش شی گرا با روش به روز رسانی^{۱۶} مبتنی بر شی می باشد و بیشتر با روش به روز رسانی مبتنی بر پیکسل مقایسه شده است مورد مطالعه قرار دادند. در این روش داده های لنdest TM در سال ۲۰۰۱ و ۲۰۰۹ در منطقه شهر پکن جمع آوری و بررسی شده است. آنها دریافتند که روش به روز رسانی شی گرا دقت بالاتری برای تشخیص تغییر، طبقه بندی و تجزیه تحلیل LULC^{۱۷} نسبت به روش به روز رسانی پیکسل پایه دارد.

روش تحقیق

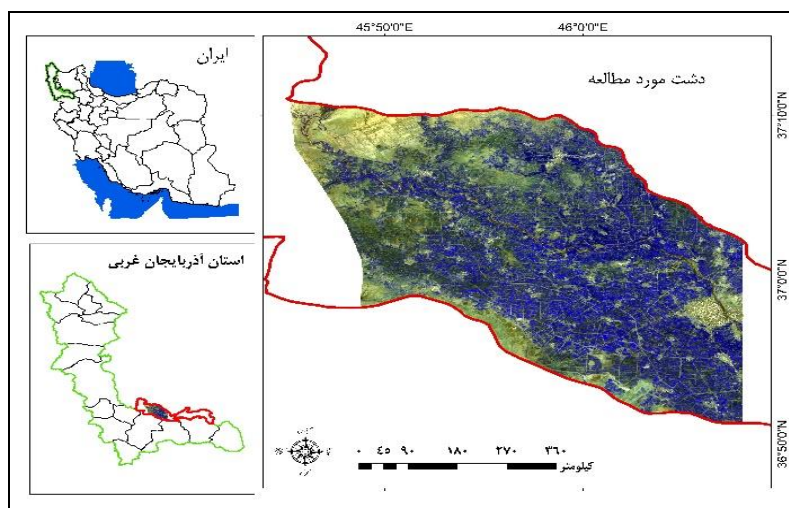
منطقه مورد مطالعه و داده ها

شهرستان میاندوآب با مساحتی بالغ بر ۲۰۰۰ کیلومتر مربع یکی از شهرستان های استان آذربایجان غربی است که در قسمت شرقی این استان واقع شده است. این شهرستان از سمت شمال با شهرستانهای مراغه و عجب شیر هم مرز بوده و از جنوب نیز به شهرستانهای بوکان و مهاباد منتهی شده است. شکل (۱) موقعیت دشت مورد مطالعه را نشان می دهد. این شهرستان از مهمترین شهرستانهای استان آذربایجان غربی در تولید محصولات کشاورزی و باغی می باشد و از نظر آماری سهم قابل توجهی در تولید محصولات گیاهی و باغی (سیب، گندم، انگور و ...) دارد.

^{۱۵} Wardlow

^{۱۶} Backdating

^{۱۷} land use and land cover



شکل(۱). دشت مورد مطالعه (منبع؛ نگارندگان)

تحقیق حاضر با هدف استخراج نقشه کاربری اراضی با استفاده از الگوریتمهای فازی، دشت میاندوآب را مدنظر قرار داده است. در این پژوهش از تصاویر ماهواره‌ی Aster (با تفکیک مکانی ۱۵ متر در چهار باند طیفی) و Quick Bird (با قدرت تفکیک ۶۰ سانتی متر در چهار باند) استفاده شده است. که این تصاویر برای ماهواره Aster در تاریخ ۲۰۱۱/۱۰/۱۷ و برای ماهواره Quick Bird در تاریخ ۲۰۰۹/۹/۱۵ برداشت شده است. در این تحقیق تصاویر دو ماهواره در محیط نرم افزار شیء‌گرا فیوژن شده و در تلفیق با داده‌های مدل رقومی ارتفاع منطقه برداشت شده توسط سنجنده SRTM با دقت مکانی ۳۰ متر، مورد پردازش قرار گرفته است. علاوه بر این از داده‌های GPS مدل گارمین برای برداشت نمونه‌های آموزشی و نقاط کنترل زمینی استفاده شده است.

انواع پوشش و کاربری اراضی در منطقه مورد مطالعه

کاربری‌های مورد نظر در ۹ طبقه طبقه بندی شده اند، که در جدول (۱) ارائه شده است. در این تحقیق کاربری‌های مستخرج تلفیقی از سطوح ۲-۳-۱ سامانه طبقه بندی می‌شیگان می‌باشد، که توسط سازمان زمین‌شناسی آمریکا ارائه شده است (اندرسون و همکاران، ۱۹۷۶: ۸۰-۸۵).

جدول(۱). سطوح کاربری‌های مورد نظر (منبع؛ نگارندگان)

سطح سوم	سطح دوم	سطح اول
سب	اراضی باگی	ناحی کشاورزی
تاقستان		
آلچه و آلو		
گندم جو		
یونجه		
آیش		
	اراضی زراعی	ناحی ساخته شده
رودخانه	سطح آبی	منابع آبی
	اراضی ماندابی، اراضی لم بزرع و شوره زارها	اراضی باز

پردازش شیء گرا تصاویر ماهواره ای

طبقه بندی تصاویر ماهواره ای بر اساس اطلاعات طیفی دارای محدودیت هایی است بنابراین برای افزایش دقت طبقه بندی باید از منابع اطلاعات دیگری استفاده شود (چن^{۱۸} و همکاران، ۲۰۰۹: ۴۷۷-۴۸۹). در طبقه بندی پیکسل پایه از ارزش عددی پیکسلها استفاده شده و در آن پدیده های دارای ارزش عددی یکسان، در یک گروه قرار می گیرند (علوی پناه، ۱۳۸۴). در حالی که در طبقه بندی شیء گرا علاوه بر اطلاعات طیفی از اطلاعات بافت و شکل نیز در فرآیند طبقه بندی استفاده می شود. (فیضی زاده، ۲۰۰۸) چراکه در این روش تصویر براساس پارامترهای طیفی، فیزیکی و هندسی پدیده های زمینی ثبت شده بر روی تصویر، سگمنت سازی شده و واحدهای پردازش تصاویر از پیکسل به پدیده های تصویری یا سگمنت ها تغییر می یابد. این نوع طبقه بندی در نرم افزار eCognition یک فرآیند تکرار پذیر است. بدین معنی که طبقه بندی چندین بار انجام می شود تا بالاترین درجه عضویت (بر اساس منطق فازی) برای طبقات حاصل شود (رضایی مقدم و همکاران، ۱۳۸۹).

سگمنت سازی تصاویر

سگمنت سازی اولین و مهمترین مرحله، در ریز طبقه بندی تصویر به واحدهای تصویری مجزا می باشد (هانگ و نی^{۱۹}، ۲۰۰۸: ۲۱۱-۲۱۸). سگمنت سازی تصویر، با استفاده الگوریتم Multiresolution Segmentation گرفته است که یکی از روشهای سگمنت سازی پایین به بالا است که فرایند خود را، از پیکسلهای منفصل شروع کرده و به صورت پیوسته پیکسل ها یا اشیاء تصویر را ادغام کرده و در نتیجه شی های تصویری را ایجاد می کند. الگوریتم Multiresolution Segmentation با به حداقل رساندن میانگین مکانی ناهمگنی ها در تصویر اقدام به ایجاد Object ها می کند و قابلیت اجرا در سطح Object و همچنین در سطح Pixel را دارد که در این تحقیق از سطح Image Object level در سگمنت سازی تصویر منطقه مورد مطالعه استفاده شده است. همانطور که در جدول (۲) مشخص می باشد، به دلیل بزرگی منطقه مورد مطالعه و همچنین قدرت تفکیک مکانی بالای تصویر Quick Bird ارزش اعمال شده برای پارامتر مقیاس، پایین و برابر با ۱۰ می باشد (اعداد بزرگتر سگمنت های ایجاد شده بزرگتر، اعداد کوچکتر سگمنت های ایجاد شده کوچکتر) و برای پارامترهای ضریب شکل (در تصاویر فشرده) (تفکیک بالا) مورد استفاده می باشد، عارضه های تصویر فشرده، ضریب اعمال شده بالا و برعکس) و فشرده (در ارتباط با شکل و رنگ تصویر می باشد، ارزش ۱ میزان تاثیر گذاری رنگ صدرصد) به ترتیب شامل ۰/۷ و ۰/۳ می باشند. شکل (۲).

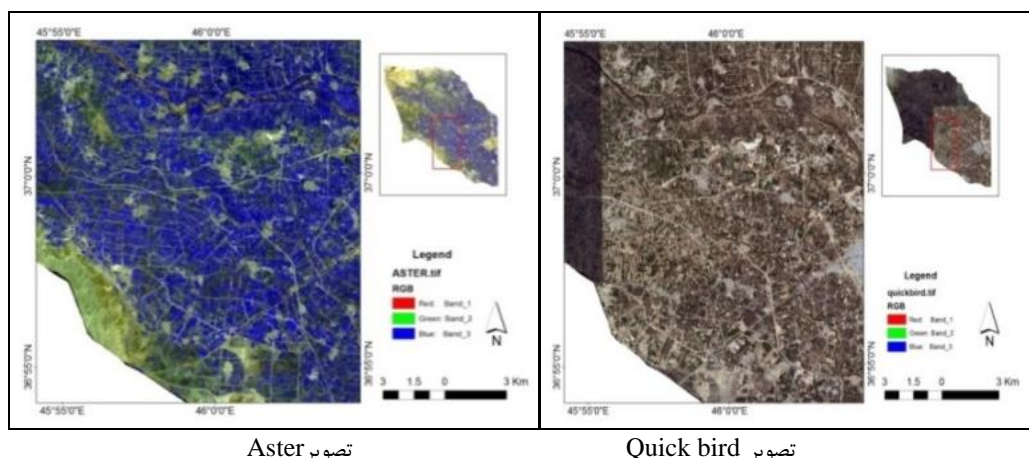
^{۱۸} Chen

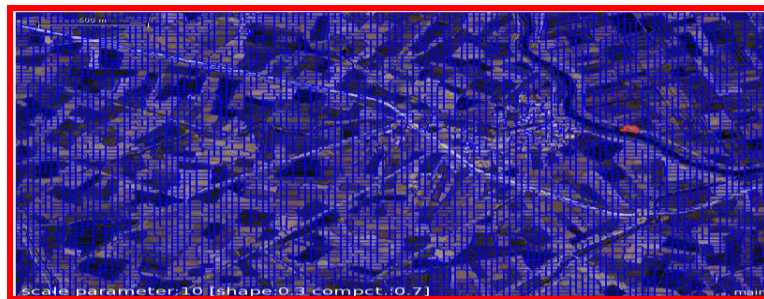
^{۱۹} Huang & Ni

جدول(۲). پارامترهای موثر در فرآیند سگمنت سازی(منبع؛ نگارندگان)

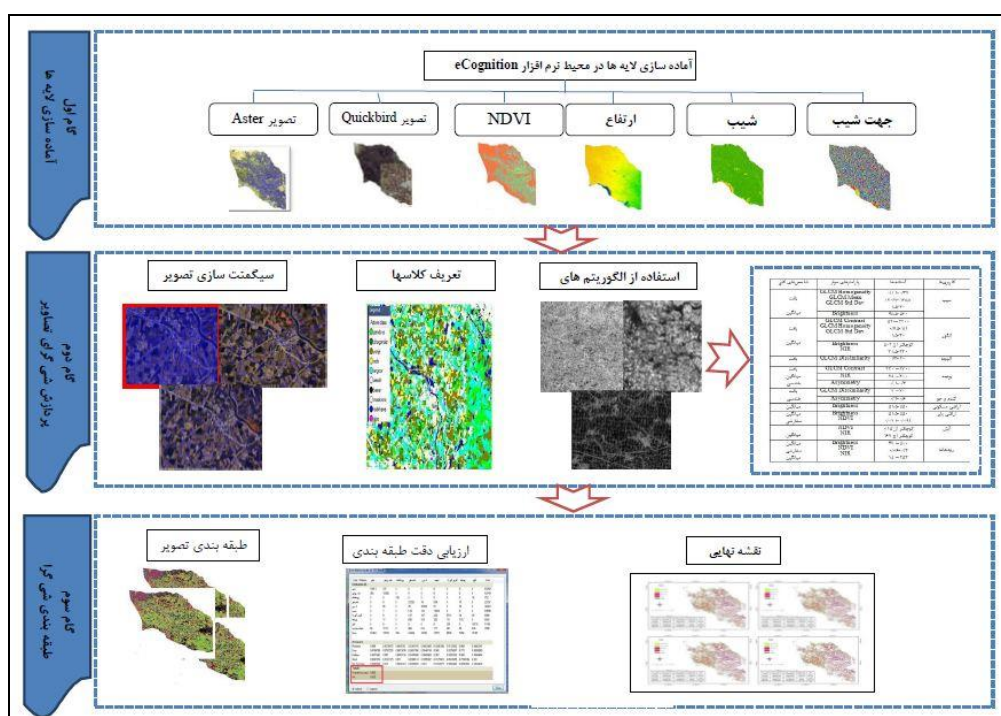
پارامترهای سگمنت سازی	ارزش ها(وزن) اعمال شده
مقیاس	۱۰
ضریب شکل	۰/۳
ضریب فشردگی	۰/۷
ترکیب نواری مناسب	(Pan Quick Bird) (G استر)(NDVI) (B استر)(NIR)
وزن انتخابی برای ترکیب نواری	۳۰ Pan Quick Bird ۳۰ استر برابر NIR ۴۰ استر برابر NDVI

در تحلیل شی گرای تصاویر ماهواره‌ای علاوه بر امکان استفاده از بهترین ترکیب نواری برای سگمنت سازی، امکان اعمال وزن نیز برای هر کدام از نوارها وجود دارد. در تحقیق حاضر با تفسیر منحنی‌های انعکاس طیفی و همچنین ارزیابی هیستوگرام همبستگی نوارها، ترکیب نواری ارائه شده در جدول(۲) به عنوان بهترین ترکیب برای طبقه بندی انتخاب شده است. با توجه به اینکه استخراج سطح زیر کشت محصولات زراعی و باگی یکی از مهمترین اهداف تحقیق می‌باشد، در فرآیند سگمنت سازی اقدام به اعمال وزن به ترکیب نواری منتخب گردید که به نوار NDVI ارزش بیشتری نسبت به سایر نوارها اعمال شد. مجموع وزن نوارهای انتخاب شده برای طبقه بندی برابر با ۱۰۰ می‌باشد، لذا از سه نوار انتخاب شده برای طبقه بندی به نوار NDVI ارزش ۴۰ از ۱۰۰ اعمال شده است.





شکل(۲). نمایش تصویر اصلی و سگمنت سازی در مقیاس ، ضریب شکل و فشردگی مختلف(منبع؛ نگارندگان)

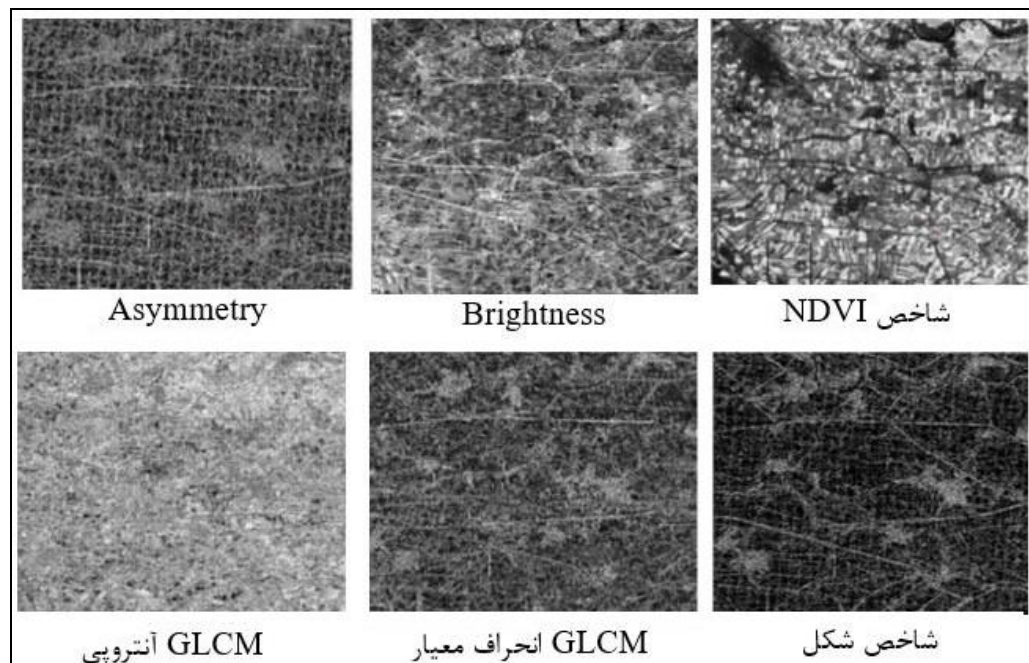


شکل(۳). فلوچارت انجام مراحل تحقیق(منبع؛ نگارندگان)

طبقه بندی شیء گرا

الگوریتم طبقه بندی شی پایه بر اساس تعریف معیارها بر اشیا و اختصاص آنها به بهترین طبقه، با درجه عضویت بالا می باشد. در این تحقیق از الگوریتم طبقه بندی Assign Class استفاده شده است. که این الگوریتم همه شی های موجود در تصویر را براساس دامنه مشخص شده برای طبقه و پارامتر تعریف شده برای آن استخراج می کند. مقدار عضویت برای طبقه براساس منطق فازی می باشد. در این تحقیق از عملگر اشتراک^{۲۰}

برای استخراج تمامی کاربری‌ها استفاده شده است. تعدادی از عوامل به کار گرفته شده در پردازش شئ‌گرا تصویر در شکل(۴) نشان داده شده است.



شکل(۴). نمایش الگوریتم‌های استفاده شده در محیط نرم افزار eCognition (منبع: نگارندگان)

برای استخراج کاربری‌های سیب، انگور، آلوچه، گندم و جو و یونجه از شاخص‌های بافت^{۲۱} که شامل پارامترهای GLCM^{۲۲} همگنی^{۲۳}، کنتراست^{۲۴}، نامتجانس^{۲۵}، آنتروپی^{۲۶}، میانگین، انحراف استاندارد^{۲۷} و همبستگی^{۲۸} می‌باشد، همچنین از شاخص‌های درجه روشنایی^{۲۹}، پوشش گیاهی و هندسی^{۳۰} (عدم تقارن^{۳۱}) نیز استفاده شده است. پارامترهای موثر در جدول(۳) ارائه گردید. برای استخراج کاربری رودخانه ابتدا پارامتر

^{۲۱}Texture

^{۲۲}gray level co-occurrence matrix

^{۲۳}Homogeneity

^{۲۴}Contrast

^{۲۵}Dissimilarity

^{۲۶}Entropy

^{۲۷}standard deviation

^{۲۸}Correlation

^{۲۹}Brightness

^{۳۰}Geometry

^{۳۱}Asymmetry

$$P_{i,j} = \frac{v_{i,j}}{\sum_{i,j=0}^{N-1} v_{i,j}}$$

I شماره ردیف، j شماره ستون، j, Vi ارزشی از سلول j,i در ماتریس، j, Pi ارزش نرمال شده در سلول j,i N تعداد سطرها یا ستون است.

آنتروپی

ارزش برای آنتروپی بالا می‌باشد، اگر عناصر GLCM بطور مساوی توزیع شوند. وزمانی کم است که عناصر نزدیک به صفر یا یک باشند. از آنجا که $LN(0)$ تعریف نشده است، فرض بر این است که $LN(0) = 0 \times 0 = 0$ می‌باشد. ارزش این پارامتر بین $(0.4 - 10)$ می‌باشد.

(رابطه (۲))

$$\sum_{i,j=0}^{N-1} p_{i,j} (-\ln p_{i,j})$$

i شماره ردیف، j شماره ستون، j, Pi ارزش نرمال شده در سلول j,i, N تعداد سطرها یا ستون

انحراف استاندار

انحراف استاندارد عبارت است از اندازگیری پراکندگی مقادیر در اطراف میانگین که این پارامتر مشابه کنترast و عدم تجانس می‌باشد. ارزش این پارامتر بین $(0 - 255)$ می‌باشد. اگر انحراف معیار مجموعه‌ای از داده‌ها نزدیک به صفر باشد، نشانه آن است که داده‌ها نزدیک به میانگین هستند و پراکندگی اندکی دارند؛ در حالیکه انحراف معیار بزرگ بیانگر پراکندگی قابل توجه داده‌ها می‌باشد.

$$\sigma_{i,j}^2 = \sum_{i,j=0}^{N-1} p_{i,j} (i,j - \mu_{i,j})^2 \quad \text{رابطه (۳)}$$

$$\sigma = \sqrt{\sigma_{i,j}^2} \quad \text{رابطه (۴)}$$

i شماره ردیف، j شماره ستون، j, Pi ارزش نرمال شده در سلول j,i, N تعداد سطرها یا ستون، j, $\mu_{i,j}$ میانگین GLCM است.

همگنی

اگر تصویر به صورت محلی همگن است، GLCM متمرکز در امتداد قطر بوده و ارزش بالا است. وزن همگن ارزش‌ها به وسیله معکوسی از وزن کنتراست بوده که به صورت تصاعدی مطابق با فاصله آنها از قطر کاهش می‌یابد. ارزش این پارامتر بین صفر و یک $(0, 1)$ می‌باشد.

i شماره ردیف، j شماره ستون، j, Pi ارزش نرمال شده در سلول j,i, N تعداد سطرها یا ستون است.

(رابطه (۵))

$$\sum_{i,j=0}^{N-1} \frac{P_{i,j}}{1 + (i - j)^2}$$

کنتراست

کنتراست در مقابل همگنی است. این اندازه گیری ناشی از مقدار تنوع محلی در تصویر است. این افزایش به صورت تصاعدی به عنوان زامین و زامین افزایش است. ارزش این پارامتر بین (۰-۶۵۰۲۵) می باشد.

رابطه (۶)

$$\sum_{i,j=0}^{N-1} p_{i,j} (i - j)^2$$

i شماره ردیف، j شماره ستون، $P_{i,j}$ ارزش نرمال شده در سلول i, j ، N تعداد سطرها یا ستون است.

شاخص هندس، عدم تقارن

ویژگی های هندسی بر پایه های شکلی از شی های تصویری می باشد، که از پیکسل های تشکیل دهنده آن محاسبه شده است. از ویژگی های عدم تقارن توصیف طول نسبی یک شی تصویر، در مقایسه با یک چند ضلعی منظم می باشد. یک بیضی تقریبی در اطراف یک شی تصویری داده شده است، که می تواند با نسبتی از طول جزئی و محور اصلی آن بیان شود. دامنه این پارامتر بین صفر و یک می باشد. Var_y واریانس x واریانس y است.

رابطه (۷)

$$\sqrt[2]{\frac{1}{4}(\text{Var}_X + \text{Var}_Y)^2 + (\text{Var}_X \text{Var}_Y)^2 - \text{Var}_X \text{Var}_Y}{\text{Var}_X + \text{Var}_Y}$$

درجات روشنایی

شاخص میانگین که در این شاخص از پارامترهای درجات روشنایی، شاخص پوشش گیاهی^{۳۳}، و میانگین باند مادون قرمز نزدیک^{۳۳} در استخراج کاربری ها استفاده شده است. که شامل رابطه (۸) و (۹) می باشند.

$$B = \frac{1}{n_{vis}} \sum_{i=1}^{n_{vis}} c_i(vis) \quad \text{رابطه (۸)}$$

$$\text{MaxDiff} = \frac{|\min(c_i(vis)) - \max(c_i(vis))|}{B} \quad \text{رابطه (۹)}$$

B میانگین روشنایی یک شی، $c_i(vis)$ مجموع تمام میانگین روشنایی در باندهای مرئی، n_{vis} تعداد باندها، \min و \max به ترتیب میانگین کمترین و بیشترین شی ها

^{۳۳} NDVI

^{۳۳} NIR

الگوریتم‌ها روی تصاویر ماهواره‌ای دقیق بالایی را در استخراج کاربری‌های مورد نظر ارائه می‌دهد، که این مهم می‌تواند در طبقه‌بندی کاربری‌های مورد نظر با داشتن اطلاعات دقیق و قابل اطمینان از میزان و مساحت کاربری‌ها که در نتیجه نقشه‌های طبقه‌بندی شده براساس منطق فازی در طبقه‌بندی شیء‌گرا ارائه می‌شود، مورد استفاده قرار گیرد. لذا پیشنهاد می‌شود که در طبقه‌بندی تصاویر ماهواره‌ای از روش شیء‌گرا، الگوریتم‌های فازی و تصاویر با قدرت تفکیک بالا (Quick Bird) استفاده شود. چرا که نتایج حاصل از این تحقیق برای سازمانهای اجرایی (نظیر سازمان جهاد کشاورزی، اداره کل منابع طبیعی و سازمان آب منطقه‌ای و...) به منظور برنامه ریزی و مدیریت بهینه منابع آب و خاک قابل استفاده است.

منابع

- اکبری، مسلم؛ سلیمانی، کریم(۱۳۸۹):**کاربرد سنجش از دور GIS در ارزیابی تغییرات کاربری اراضی مطالعه موردي حوضه آبخیز نورآباد**، لرستان. همایش ژئوماتیک، سازمان نقشه برداری کشور، تهران.
- رضایی مقدم، محمد حسین؛ فیضی زاده، بختیار؛ رضایی بنفشه، مجید؛ نظم فر، حسین(۱۳۸۹):**طبقه بندی پوشش اراضی، کاربری اراضی به روش شی گرا و تصاویر ماهواره ای، پژوهش های آبخیزداری**، شماره ۸۷-۸۶. سازمان جهاد کشاورزی استان آذربایجان غربی، (۱۳۹۰).
- فیضی زاده، بختیار؛ هلالی، حسین(۱۳۸۸):**مقایسه روش های پیکسل پایه ، شی گرا و پaramترهای تاثیر گذار در طبقه بندی پوشش کاربری اراضی استان آذربایجان غربی**، پژوهش های جغرافیای طبیعی، ۷۱: ۸۴-۷۳.
- فیضی زاده، بختیار؛ جعفری، فیروز؛ نظم فر، حسین(۲۰۰۸):**کاربرد داده های سنجش از دور در آشکارسازی تغییرات کاربری های اراضی شهری** (مطالعه موردي فضای سبز شهر تبریز)، هنرهای زیبا ۳۴: ۴-۳.
- فیضی زاده، بختیار؛ حاجی میر حیمی، محمود(۱۳۸۷):**آشکارسازی تغییرات کاربری اراضی با استفاده از روش طبقه بندی شی گرا** (مطالعه موردي: شهرک اندیشه)، مجموعه مقالات همایش ژئوماتیک تهران.
- محمدی، مجید، امیری، مجتبی و جعفر دستورانی(۱۳۹۴):**مدلسازی تغییرات کاربری اراضی شهرستان رامیان در استان گلستان**، مجله برنامه‌ریزی و آمیش فضای دوره نوزدهم، شماره ۴.
- مصطفودزاده، حسن(۱۳۹۶)،**کاربرد شبکه عصبی مصنوعی در مدلسازی و پیش‌بینی تغییرات کاربری اراضی شهر سردرود**، نشریه جغرافیا و برنامه‌ریزی، ۶۰(۲۱): ۲۲۳۷-۲۲۲۱.
- علوی پناه، سید کاظم، (۱۳۸۴)،**کاربرد سنجش از دور در علوم زمین**، انتشارات دانشگاه تهران.
- Anderson, J. R.; Hady; E. Roach, E.J. Wetter T. and Richard. E.(1976) **Lands cover classification system for use with remote sensor data**. United States Government Printing Office, Washington.Pages 80– 85.
- Arafat, S.M, (2003). **The utilization of geoinformation technology for agricultural development and management in Egypt**. 7th International Specialized Conference on Diffuse Pollution and Basin Management 17-22 August 2003, Dublin, Ireland.
- Blaschke T ,(2010) **Object based image analysis for remote sensing**. ISPRS Journal of Photogrammetry and Remote Sensing 65, 2-16.
- Chaudhuri, B., & Sarkar, N. (1995). **Texture segmentation using fractal dimension**. IEEE Transactions on Pattern Analysis and Machine Intelligence, pp. 17, 72– 77.
- Chen, M, Su.W, Li.L, Chao.Z, Yue.A and Li.H., (2009) **of Pixel-based and Object-oriented Knowledge- based Classification Methods Using SPOT5 Imagery**, WSEAS

- TRANSACTIONS on INFORMATION SCIENCE and APPLICATIONS, ISSN: 1790-0832, pages 477-489.
- Dubuisson-Jolly, M. P., & Gupta, A. (2000). **Color and texture fusion: application to aerial image segmentation and GIS updating**. Image and Vision computing, 18(10), 823-832.
- Hofmann, T., Puzicha, J., & Buhmann, J. (1998). **Unsupervised texture segmentation in a deterministic annealing framework**. IEEE Transactions on Pattern Analysis and Machine Intelligence, NO20, pp.803-818.
- Huang, .L and Ni.L. (2008) **Object-oriented classification of high resolution satellite image for better accuracy**, Proceedings of the 8th International Symposium on Spatial Accuracy Assessment in Natural Resources and Environmental Sciences, Shanghai, P. R.China, June. 25(27). 211-218.
- Jain, A & F.Farrokhnia,(1991) **Unsupervised texture segmentation using Gabor filters**. In: Pattern Recognition. 24(12) ,1167-1168.
- Mao, J., & Jain, A. K. (1992). Texture classification and segmentation using multiresolution simultaneous autoregressive models. Pattern recognition,25(2), 173-188.
- Martha, T. R., Kerle, N., Jetten, V., van Westen, C. J., & Kumar, K. V. (2010), Characterising spectral, spatial and morphometric properties of landslides for semi-automatic detection using object-oriented methods. Geomorphology,116(1), 24-36.
- Oruc, M., Marangoz, A. M., Buyuksalih, G.(2004). Comparison of pixel-based and objectoriented classification approaches using Landsat-7 ETM spectral bands. ZKU, Engineering Faculty, 67100 Zonguldak, Turkey.
- Pal, Nikhil R., and Sankar K. Pal(1993). "A review on image segmentation techniques." Pattern recognition. 26.. 9 ,1277-1294.
- Panjwani, D. & G. Healey, (1995). **Markov random field models for unsupervised segmentation of textured colour images**. In: IEEE Transactions on Pattern Analysis and Machine Intelligence. 17 (10), 939-954.
- Wenjuan,Y, Zhou,W, Qian,Y and Jingli Yan(2016). "A new approach for land cover classification and change analysis: Integrating backdating and an object-based method." Remote Sensing of Environment 177 ,37-47.
- Ziaeian-Firoozabadi, P., L. Sayad-Bydhndy, and M. Eskandari-Nodeh.(2009). **Mapping and estimating the area under rice cultivation in Sari city using satellite images Radarst**. Geography Research Natural. 68: 45-58. (In Farsi).
- Wardlow, D. B., L. E. Egbert, and j. H. Castens.(2007). Analysis of time-series MODIS 250 m vegetation index data for crop classification in the U. S. central great plains. Journal of Remote Sensing of Environment .108: 290-310.
- Yousefi, S., M. Tazeh, S. Mirzaee, H. R. Moradi, and S. H. Tavangar. (2011). **Comparison of different classification algorithms in satellite imagery to produce landuse maps (Case study: Noor city)**. Journal of Applied RS and GIS Techniques in Natural Resource Science 2 (2): 15-23. (In Farsi).
- Arekhi, S., and M. Adibnejad. (2011). Efficiency assessment of the support vector machines for land use classification using landsat ETM+ data (Case study: Ilam Dam Catchment). Iranian journal of Range and Desert Reseach 18 (3): 420-440. (In Farsi).
- Jansen L. J.M. and A. Di Gregorio. (2004) **Obtaining land-use information from a remotely sensed land cover map: results from a case study in Lebanon**, International Journal of Applied Earth Observation and Geoinformation, 5: 141–157.

